

# YAG:Nd<sup>3+</sup> 单晶的二阶和三阶弹性常数

顾惠成 王汝菊 王积方

(中国科学院物理研究所, 北京 100080)

1993 年 3 月 1 日收到

**摘要** 我们采用超声“脉冲回波重合法”技术<sup>[1]</sup>, 测定了立方晶体钕铝石榴石(YAG:Nd<sup>3+</sup>)的二阶弹性常数, 以及它们在静水压和单轴应力条件下, 随压力变化, 获得了三阶弹性常数. 它们分别是:  $C_{11} = 334.78 \text{ GPa}$ ,  $C_{12} = 109.95 \text{ GPa}$ ,  $C_{44} = 115.25 \text{ GPa}$ , 和  $C_{111} = -3377.66 \text{ GPa}$ ,  $C_{112} = -841.16 \text{ GPa}$ ,  $C_{123} = -32.86 \text{ GPa}$ ,  $C_{144} = -37.66 \text{ GPa}$ ,  $C_{166} = -579.38 \text{ GPa}$ ,  $C_{456} = -114.60 \text{ GPa}$ . 根据这些数据, 我们还计算了 YAG:Nd<sup>3+</sup> 晶体的德拜温度以及 Grüneisen 参数, 以及 YAG:Nd<sup>3+</sup> 的状态方程.

## The elastic behaviour of YAG:Nd<sup>3+</sup> crystal under pressure

GU Huicheng WANG Ruju and WANG Jifang

(Institute of Physics, Chinese Academy of Science, Beijing 100080)

Received March 1, 1993

**Abstract** Under normal condition, and hydrostatic pressure and uniaxial stress conditions, the different modes of longitudinal and shear wave velocities of YAG:Nd<sup>3+</sup> single crystal had been measured by ultrasonic pulse echo overlape technique. Based on those data, the second-order and third-order elastic constants were derived, which are:

$C_{11} = 334.78 \text{ GPa}$ ,  $C_{12} = 109.95 \text{ GPa}$ ,  $C_{44} = 115.25 \text{ GPa}$  and  $C_{111} = -3377.66 \text{ GPa}$ ,  $C_{112} = -841.16 \text{ GPa}$ ,  $C_{123} = -32.86 \text{ GPa}$ ,  $C_{144} = -37.66 \text{ GPa}$ ,  $C_{166} = -579.38 \text{ GPa}$ ,  $C_{456} = -114.60 \text{ GPa}$ .

From those SOEC and TOEC, the Debye temperature  $\Theta_D$ , Grüneisen constant  $\gamma$ , and equation of state of YAG:Nd<sup>3+</sup> are obtained.

## 引 言

YAG:Nd<sup>3+</sup> 晶体为一种重要的有实用价值的激光材料, 因此对它的热学、力学、声学性能的了解是很重要的. 在常态和高压条件下, 我们通过对样品声速的测量, 能够获得其二阶、三阶

弹性常数. 根据这些常数, 我们又可得到其它一些重要的热学性质参数. 所以测量晶体的二阶、三阶弹性常数是很有意义的.

当应力、应变遵从胡克定律时, 固体弹性性质由二阶弹性常数描述; 当固体中的应力、应变之间关系出现非线性现象时, 则其弹性性质必须采用高阶弹性常数描述它们之间的关系. 固体中的非简谐性性质与高阶弹性常数密切相关.

## 一、实 验

测量是在 Matec 6600 型超声仪器上进行的. 基频为 10MHz 的 X 0°切和 Y 0°切石英片分别被作为产生纵波和横波的换能器, 用蜂蜜粘接到样品上, 使之在样品中产生超声波. 测量的声传播时间的精度为  $10^{-4}$ , 灵敏度为 0.5 毫微秒. 压力用 150 吨材料试验机产生, 在圆筒活塞装置中最大测量压力至 0.5 GPa. 传压介质是变压器油和煤油的混合液 (体积比 1:1). 压力由锰铜压力计测量, 测量精度为 1%. 样品由机电部十一所贾蒲明同志提供, 分子式为:  $Y_3Al_5O_{12}:N_3^{3+}$ , 单晶生长方向为 [111]. 晶体取向由  $x$  光劳埃法测定, 取向精度为  $\pm 0.5^\circ$ .

## 二、实验结果

### 1. 二阶弹性常数的测量

沿立方晶系主要晶轴方向传播的声速与二阶弹性常数间的关系<sup>[2]</sup>, 如表 1 所示.

表 1 沿立方晶系主要晶轴方向传播的声速与二阶弹性常数间的关系

Christoffel 方程的特解	声波传播方向	质点运动方向
$\rho V_1^2 = C_{11}$	[100]	[100]
$\rho V_2^2 = C_{44}$	[100]	$\perp$ [100]
$\rho V_3^2 = (C_{11} - C_{12})/2 = C'$	[110]	[1 $\bar{1}$ 0]
$\rho V_4^2 = (1/2)(C_{11} + C_{12} + 2C_{44}) = C_L$	[110]	[110]

$\rho$  为样品密度  $V_i$  为沿不同晶轴方向传播的声速.

我们通过声速的测量求得了二阶弹性常数, 列于表 2.

表 2 YAG 的二阶弹性常数 (室温, 单位:  $\times 10^2$  GPa)

$C_{ij}$	Spencer et al (1963) (YAG)	Saunders et al (1980) (YAG)	本工作 (YAG:N <sup>3+</sup> )
$C_{11}$	3.332	3.281	3.348
$C_{12}$	1.107	1.064	1.099
$C_{44}$	1.15	1.137	1.153
$\frac{1}{2}(C_{11} - C_{12})$	1.11	1.108	1.124

$B_s = \frac{1}{3}(C_{11} + 2C_{12}) = 184.89 \text{ GPa}$  ( $B_s$  表达式参见 [3])

2. 三阶弹性常数的测量

我们通过测量声速随压力的变化,得到二阶弹性常数随静水压变化曲线(如图 1 所示). 随单轴压力变化曲线(如图 2 所示),利用最小二乘法多项式拟合,分别得到  $C_{ij}-p$  曲线在  $p=0$  处的斜率,如表 3 所示.

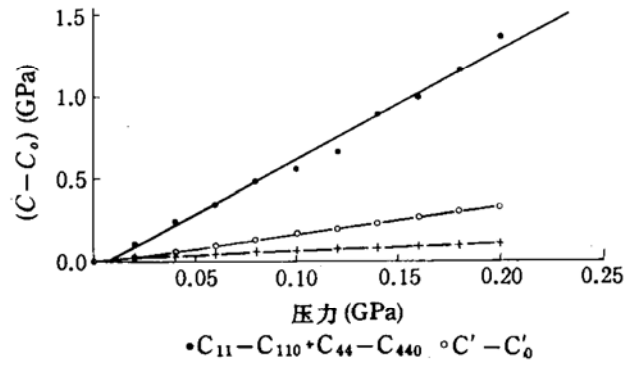


图 1 YAG:Nd<sup>3+</sup> 二阶弹性常数的压力依赖关系

表 3 二阶弹性常数和体弹模量的压力导数

材 料	$\partial C_{11}/\partial P$	$\partial C_{44}/\partial P$	$\partial C'/\partial P$	$(\partial C_{11}/\partial P)$ 单轴	$(\partial C_{44}/\partial P)$ 单 轴极化[110]	$(\partial C_{44}/\partial P)$ 单 轴极化[110]	$\partial B/\partial P$
YAG (Sander et al 1980 YAG:Nd <sup>3+</sup> (本工作)	$6.31 \pm 0.05$	$0.62 \pm 0.02$	$1.41 \pm 0.01$	—	—	—	—
	$6.92 \pm 0.23$	$0.74 \pm 0.019$	$1.51 \pm 0.02$	$-0.13 \pm 0.009$	$0.0057 \pm 0.0032$	$0.011 \pm 0.001$	$4.31 \pm 0.24$

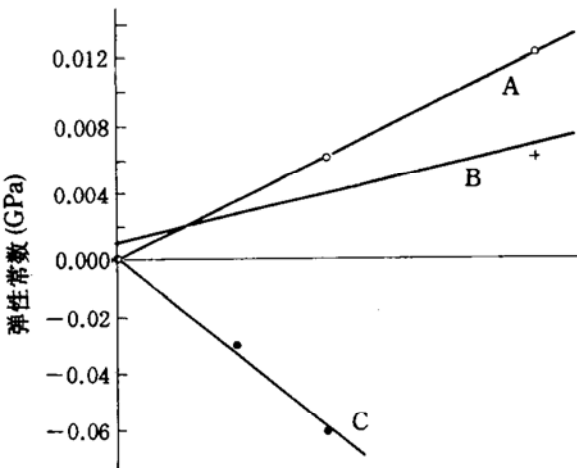


图 2 单轴应力[110]方向;横座标:单轴应力(GPa)  
模 A:  $N[001], U[1\bar{1}0]$ ;  
模 B:  $N[001], U[110]$ ;  
模 C:  $N[001], U[001]$ .

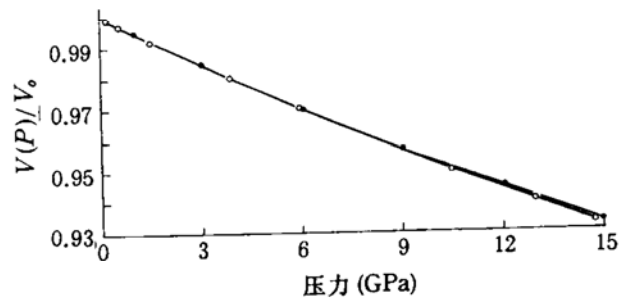


图 3 YAG:Nd<sup>3+</sup> 的压缩率(用 Murnaghan 和 Brich-Murnaghan 状态方程外推至 15GPa)  
—●— Brich-Murnaghan;  
—○— Murnaghan.

对于立方晶系,在不同压力条件下,三阶弹性常数的表达式<sup>[2]</sup>,如表 4 所示.

$W$  为自然声速,表示声波在样品中传播距离不变的声速.

计算得到 YAG:Nd<sup>3+</sup> 晶体的六个独立的三阶弹性常数,如表 5 所示.

我们对 YAG:Nd<sup>3+</sup> 的密度随压力变化作了修正. 常温常压下 YAG:Nd<sup>3+</sup> 的实测密度为  $4.572 \times 10^3 \text{ kgm}^{-3}$ . YAG 的密度为  $4.55 \times 10^3 \text{ kgm}^{-3}$  (Spencer et al 1963). 由于  $(\partial C_{11}/\partial P)$ 单轴、 $(\partial C_{44}/\partial P)$ 单轴极化[110]、 $(\partial C_{44}/\partial P)$ 单轴极化[110]值很小, YAG:Nd<sup>3+</sup> 和 YAG 成份也不完全一样,故本工作和 Sounder et al(1980)的三阶弹性常数值有些差异,这是可理解的.

表4 立方晶系,在不同压力条件下,三阶弹性常数的表达式

受力方式	传播方向	极化方向	$W = (\rho V^2)_{P=0}$	$(\rho_0 W^2)'_{P=0}$
静	[100]	[100]	$C_{11}$	$-1 - \frac{2W}{3B} - \frac{1}{3B} [C_{111} + 2 C_{112}]$
水	[100]	$\perp [100]$	$C_{44}$	$-1 - \frac{2W}{3B} - \frac{1}{3B} [C_{144} + 2 C_{166}]$
压	[110]	$[1\bar{1}0]$	$\frac{1}{2}(C_{11} - C_{12})$	$-1 - \frac{2W}{3B} - \frac{1}{3B} [\frac{1}{2}C_{111} - 2 C_{123}]$
单 轴 应 力	[001]	[001]	$C_{11}$	$2WFU^\circ + aC_{111} + (a-b)C_{112} \quad FU^\circ = a$
	[001]	[110]	$C_{44}$	$2WFU^\circ + 1/2(a-b)C_{144} + 1/2C_{166}(3a-b) - 2cC_{456}$
	[001]	[110]		$FU^\circ = 1/2(a-b-2c)$
	[001]	$[1\bar{1}0]$	$C_{44}$	$2WFU^\circ + 1/2(a-b)C_{144} + 1/2C_{166}(3a-b) + 2cC_{456}$
	[110]			$FU^\circ = 1/2(a-b+2c)$

表中  $a = C_{12}^T / 3B(C_{11}^T - C_{12}^T)$   $b = (C_{11}^T + C_{12}^T) / 3B(C_{11}^T - C_{12}^T)$   $c = 1/4C_{44}(C_{ij}^T$  表示等温弹性常数)  $W$  为自然声速,表示声波在样品中随传播距离不变的声速.

表5 YAG 的三阶弹性常数(室温,单位:  $\times 10^2$  GPa)

材 料	工作者	$C_{111}$	$C_{112}$	$C_{123}$	$C_{144}$	$C_{166}$	$C_{456}$
YAG	Souder et al (1980)	$-31.1 \pm 0.12$	$-5.86 \pm 0.5$	$-3.98 \pm 0.60$	$-0.82 \pm 0.04$	$-3.85 \pm 0.15$	$-0.62 \pm 0.03$
YAG:N <sup>3+</sup>	本工作	$-33.77 \pm 0.29$	$-8.41 \pm 0.27$	$-0.328 \pm 0.25$	$-0.376 \pm 0.03$	$-5.79 \pm 0.12$	$-1.14 \pm 0.03$

### 三、推论和讨论

#### 1. YAG:N<sup>3+</sup> 的二阶弹性常数明显的特征是:

(1) 它们遵守勾犀(Cauchy)关系,

即  $C_{12} = C_{44}$  所以 YAG 晶体中原子间以中心力相互作用为主.

(2) 切变各向同性关系成立,即  $2C_{44} / (C_{11} - C_{12}) = A = 1$

(对 YAG:N<sup>3+</sup>  $A = 1.0282$ )

#### 2. YAG:N<sup>3+</sup> 的三阶弹性常数的特点

(1) 三阶弹性常数的勾犀(Cauchy)关系为(Cousins1971):

$$C_{112} = C_{166}; C_{123} = C_{144} = C_{456}$$

但对 YAG:N<sup>3+</sup>, 这些关系不成立.

(2) 三阶弹性常数各向同性关系为:

$$(C_{123} + 2C_{144}) / C_{112} = 1$$

$$(C_{144} + 2C_{456}) / C_{166} = 1$$

$$(C_{123} + 6C_{144} + 8C_{456}) / C_{111} = 1$$

但这些关系对 YAG:N<sup>3+</sup> 样品也不成立. 其它 YAG 样品,也基本不成立<sup>[4]</sup>.

#### 3. 德拜温度的计算

我们分别从声速和弹性系数两组数据出发,用两种方法来计算 YAG:N<sup>3+</sup> 的德拜温度. YAG:N<sup>3+</sup> 的基本参数如下:

分子式为:  $Y_3Al_5O_{12}:N_3^{3+}$ , 晶胞为体心立方. 空间群:  $Ia\bar{3}d(O_h^{10})$ , 点阵常数:  $12.003 \text{ \AA}$  ( $1.2003 \pm 0.001 \text{ nm}$ ).

(1) YAG:N<sup>3+</sup> 每个晶胞有八个分子,假设每个分子中各原子振动是自由的.其振动模式为:

$$n = N/V = \frac{8 \times 20}{(12.003)^3} \times 10^{30} \text{m}^{-3} = 9.2523 \times 10^{28} \text{m}^{-3}$$

式中  $N$  为晶胞中的原子数,  $V$  是晶胞的体积. 根据德拜理论, 极限频率

$$\omega_m^3 = \frac{18\pi^2 n}{1/V_1^3 + 1/V_2^3 + 1/V_3^3} = 9.34 \times 10^{41} \text{s}^{-3}$$

这里  $V_1, V_2, V_3$  分别是纵波和两个横波的声速. 从而得到德拜温度  $\Theta_D$  为:

$$\Theta_D = \frac{\hbar}{K} \times V_0 \times \left(\frac{18\pi^2 N}{V}\right)^{1/3} \cong 747 \text{K}$$

(此处  $V_0 = (1/V_1^3 + 1/V_2^3 + 1/V_3^3)^{-1/3} = 3.8462 \times 10^3 \text{(m/s)}$ )

(2) 如果根据“简谐级数展开”方法<sup>[5]</sup>, 可以把德拜温度表示为:

$$\Theta_D = \frac{h}{K} \left(\frac{9N}{4\pi V}\right)^{1/3} \rho^{-1/2} J^{-1/3}$$

(此处  $\rho = 4.572 \text{g/cm}^3, V = (12.003)^3 \times 10^{-30} \text{m}^3$ )

其中  $J = 0.10878I_1 + 0.070803I_2 + 0.016184I_3 + 0.352656I_4 + 0.287712I_5 + 0.163861I_6$

$$I_1 = 2[C_{44}]^{-3/2} + [C_{11}]^{-3/2}$$

$$I_2 = [C_{44}]^{-3/2} + \left[\frac{1}{2}(C_{11} - C_{12})\right]^{-3/2} + \left[\frac{1}{2}(C_{11} + C_{12} + 2C_{44})\right]^{-3/2}$$

$$I_3 = 2\left[\frac{1}{3}(C_{44} + C_{11} - C_{12})\right]^{-3/2} + \left[\frac{1}{3}(C_{11} + 2C_{12} + 4C_{44})\right]^{-3/2}$$

$$I_4 = [C_{44}]^{-3/2} + \left[C_{44} + \frac{1}{2}\alpha + \frac{1}{10}(9\alpha^2 + 16\beta^2)^{1/2}\right]^{-3/2} \\ + \left[C_{44} + \frac{1}{2}\alpha - \frac{1}{10}(9\alpha^2 + 16\beta^2)^{1/2}\right]^{-3/2}$$

$$I_5 = \left[C_{44} + \frac{1}{6}(\alpha - \beta)\right]^{-3/2} + \left[C_{44} + \frac{1}{12}(9\alpha^2 + 33\beta^2 - 6\alpha\beta)^{1/2} + \frac{1}{12}(5\alpha + \beta)\right]^{-3/2} \\ + \left[C_{44} + \frac{1}{12}(5\alpha + \beta) - \frac{1}{12}(9\alpha^2 + 33\beta^2 - 6\alpha\beta)^{1/2}\right]^{-3/2}$$

$$I_6 = \left[C_{44} + \frac{4}{9}(\alpha - \beta)\right]^{-3/2} + \left[C_{44} + \frac{1}{18}(5\alpha + 4\beta) + \frac{1}{18}(9\alpha^2 + 48\beta^2 + 24\alpha\beta)^{1/2}\right]^{-3/2} \\ + \left[C_{44} + \frac{1}{18}(5\alpha + 4\beta) - \frac{1}{18}(9\alpha^2 + 48\beta^2 + 24\alpha\beta)^{1/2}\right]^{-3/2}$$

$$\alpha = C_{11} - C_{44} \quad \beta = C_{12} + C_{44}$$

代入上述  $C_{11}, C_{12}, C_{44}$  的值, 计算得到,  $\Theta_D \cong 746 \text{K}$

以上两种方法得到的结果非常接近.

#### 4. Grüneisen 常数的计算

Grüneisen 常数是热状态方程中很关键的参数, 它描述固体的非简谐性性质, 可以直接从热力学数据中测定出来<sup>[4]</sup>, 表示为  $\gamma^{\text{th}} = \alpha V B_s / C_P$ . 其中  $\alpha$  为体膨胀系数,  $B_s$  为绝热体弹性模量,  $C_P$  为定压下的比热,  $V$  为原子体积. 由此得到的  $\gamma^{\text{th}}$  称为热力学 Grüneisen 常数.

对于 YAG:N<sup>3+</sup>d, 在室温, 原子体积  $V = 130.61 \text{cm}^3 \text{mol}^{-1}$ , 绝热体弹性模量  $B_s$ , 由本实验测得为  $1.8489 \times 10^2 \text{GPa}$ , 等体温膨胀系数  $\alpha = 22.5 \times 10^{-6} \text{K}^{-1}$ , 比热  $C_P = 3.712 \times 10^2 \text{Jmol}^{-1}$ , 所以  $\gamma^{\text{th}} = 1.4637$ .

#### 5. 压缩率、体弹模量和状态方程

压缩率是描述材料在高压下行为的一个基本参数, 它是晶体在压力  $P$  时的体积  $V(P)$  与

在常压下的体积  $V_0$  之比  $V(P)/V_0$ . 压缩率  $V(P)/V_0$  与  $P$  之间的关系, 可以通过:

(1) Murnaghn 状态方程联系起来

$$\ln\left(\frac{V(P)}{V_0}\right) = \frac{1}{B'_0} \ln\left[B'_0\left(\frac{P}{B_0}\right) + 1\right] \quad (1)$$

$$\text{而 } B(P) = -V(P)\left(\frac{\partial P}{\partial V(P)}\right)_{\text{sort}} = B_0 + B'_0 P$$

$$\text{此处 } B'_0 = \left\{ \left(\frac{\partial B}{\partial P}\right)_T \right\}_{P=0}$$

根据  $B = \frac{1}{3}(C_{11} + 2C_{12})$  及  $C_{11}$  和  $C_{12}$  分别和压力  $P$  的关系, 可求出  $B-P$  关系.

以  $B_0$  及  $B'_0$  值, 代入上述(1)方程, 即得 YAG:N<sup>3+</sup> 的状态方程为:

$$V/V_0 = e^{-\frac{1}{4.31} \ln(0.0233P+1)} \quad (1')$$

(2) Brich-Murnaghan 状态方程联系起来<sup>[6]</sup>.

$$P = \frac{3}{2} B_T \left[ \left(\frac{V_0}{V}\right)^{7/3} - \left(\frac{V_0}{V}\right)^{5/3} \right] \left\{ 1 - \xi \left[ \left(\frac{V_0}{V}\right)^{2/3} - 1 \right] \right\} \quad (2)$$

其中  $B_T$  是等温体弹模量;  $\xi = \frac{3}{4}(4 - B'_T)$ ;

$$B'_T = (\partial B_T / \partial P)_T.$$

为了获得  $B_T$  值, 使用了下列关系式<sup>[3]</sup>:

$$B_s = B_T(1 + \alpha\gamma T) \quad (2a)$$

其中  $\alpha$  是热膨胀系数<sup>[4]</sup>,  $\gamma$  是 Grüneisen 常数.

$$\alpha = 22.5 \times 10^{-6} \text{K}^{-1}, \quad \gamma = 1.4637 \text{ (见上述第4节)}$$

以  $\alpha, \gamma$  值, 代入关系式(2a), 得到:

$$B_T = 183.08 \text{GPa}$$

以实验值  $B'_T = (\partial B_T / \partial P) = 4.31$ , 代入关系式

$$\xi = 3/4(4 - B'_T), \text{ 求得 } \xi.$$

再以  $B_T, \xi$  值, 代入方程(2),

$$\text{得到: } P = 274.62 \times \left[ 0.2325 \left(\frac{V_0}{V}\right)^{9/3} + 0.535 \left(\frac{V_0}{V}\right)^{7/3} - 0.7675 \left(\frac{V_0}{V}\right)^{5/3} \right] \text{(GPa)} \quad (2b)$$

以上两式中  $V_0$  和  $V$  分别为样品在常压和压力为  $P$  时的摩尔体积.

又根据以上两状态方程的表达式, 得到 YAG:N<sup>3+</sup> 晶体的压缩率  $V(P)/v_0$  随着压力( $P$ )变化的曲线, 如图3所示. 我们从图3看到, 由状态方程(1')和(2b)所得到的压缩率随压力( $P$ )变化的规律符合得很好.

## 参 考 文 献

- [1] 王积方等, "物理", **14**(1985), No. 6, 375.
- [2] 王汝菊、王积方, "高压物理学报", **1**(1987), No. 1, 32—37.
- [3] 王积方等, "物理学报", **40**(1991) No. 12, 1968.
- [4] Y. K. Yogurtcu etc.; *J. Phys. c: Solid St. Phys.*, **13**(1980), 6585.
- [5] Alers. A. .; *Physical Acoustics: Principles and Methods*, **1**, part B(1965), 14.
- [6] K. W. Katahara etc.; *J. Appl. Phys.*, **47**(1976), No. 2, 438.